

Pokročilé číslicové systémy, FIT, VUT Brno

## **Teoretický projekt**

**David Mihola**

xmihol00

15. Prosinec 2023

# 1 Konstrukce AIG

AIG graf zkonstruujeme v následující posloupnosti kroků:

## 1. Vytvoření vstupů

- (a) `create_input(a) = a_in`
- (b) `create_input(b) = b_in`
- (c) `create_input(c) = c_in`
- (d) `create_input(d) = d_in`

## 2. Vytvoření hradla AND 1

- (a) `create_and2(b_in, c_in) = AND_1`

## 3. Vytvoření hradla AND 2

- (a) `create_and2(b_in, d_in) = AND_2`

## 4. Vytvoření hradla OR 3

- (a) `create_inverter(c_in) = not_c_in`
- (b) `create_inverter(d_in) = not_d_in`
- (c) `create_and2(not_c_in, not_d_in) = NAND_3`
- (d) `create_inverter(NAND_3) = OR_3`

## 5. Vytvoření hradla OR 4

- (a) `create_inverter(AND_1) = not_AND_1`
- (b) `create_inverter(AND_2) = not_AND_2`
- (c) `create_and2(not_AND_1, not_AND_2) = NAND_4`
- (d) `create_inverter(NAND_4) = OR_4`

## 6. Vytvoření hradla AND 5

- (a) `create_and2(b_in, OR_3) = AND_5`

## 7. Vytvoření hradla AND 6

- (a) `create_and2(a_in, OR_4) = AND_6`

## 8. Vytvoření hradla AND 7

- (a) `create_and2(a_in, AND_5) = AND_7`

### 9. Vytvoření hradla AND 8

(a) `create_and2(AND_1, AND_61) = AND_1_6`

(b) `create_and2(AND_1_6, AND_5) = AND_8`

### 10. Vytvoření hradla XOR 9

(a) `create_and2(AND_2, AND_7) = AND_2_7`

(b) `create_inverter(AND_7) = not_AND_7`

(c) `create_and2(not_AND_22, not_AND_7) = NAND_2_7`

(d) `create_inverter(AND_2_7) = not_AND_2_7`

(e) `create_inverter(NAND_2_7) = OR_2_7`

(f) `create_and2(not_AND_2_7, OR_2_7) = XOR_9`

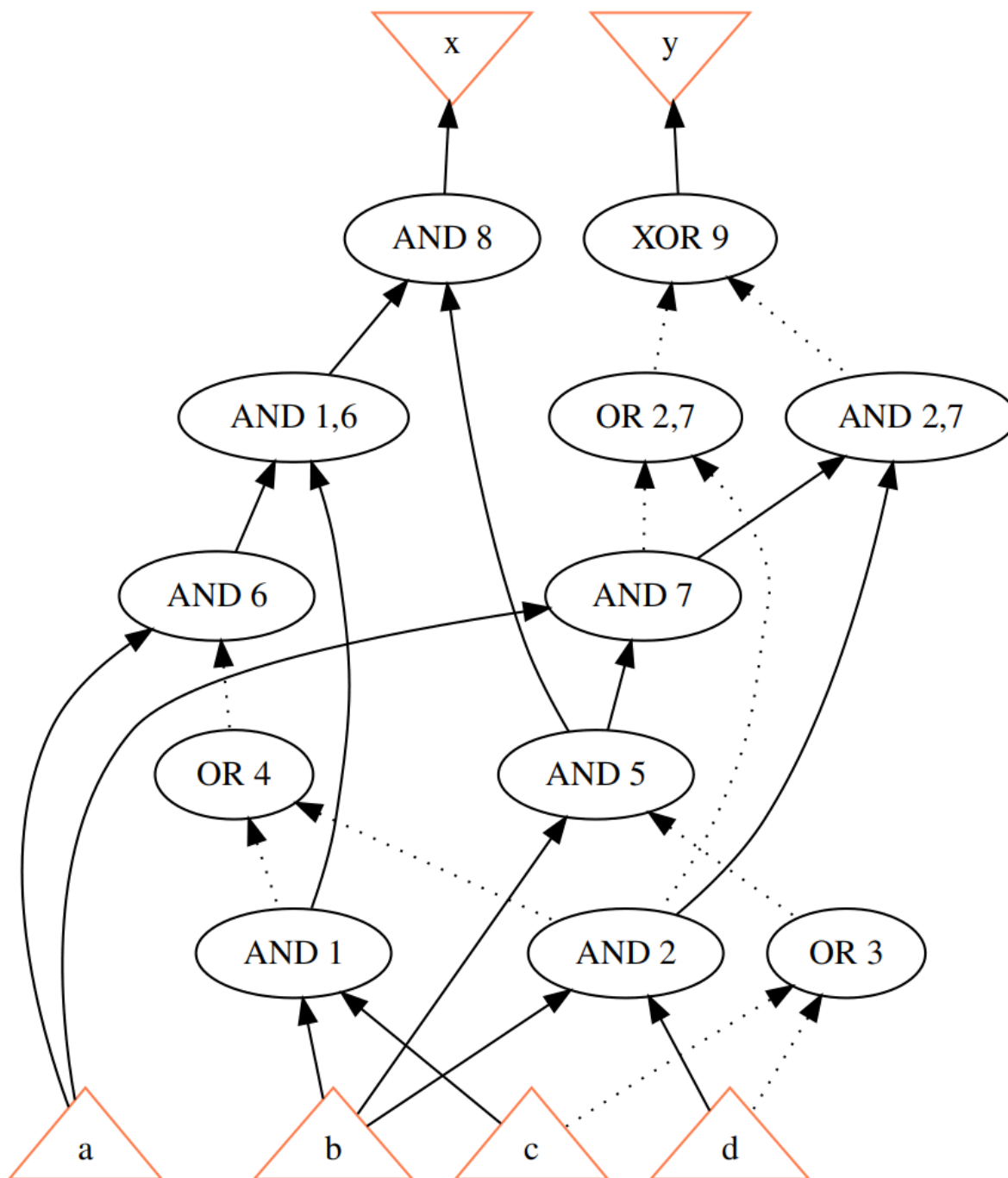
Výstup `x` získáme jako výstup and uzlu `AND_8` a výstup `y` získáme jako výstup and uzlu `XOR_9`. Je dobré zmínit, že při konstrukci zadaného obvodu nedošlo k situaci, kde by se uplatnila propagace konstant nebo strukturní hashování.

Graficky je výsledný AIG graf zobrazen na obrázku 1.

---

<sup>1</sup>Zde neuvažujeme aplikování funkce `rank` mezi `AND_5` a `AND_6`, protože jsou na vstupech jiných funkcí `create_and2`.

<sup>2</sup>Hodnota již vytvořena v bodě 5.



Obrázek 1: AIG graf (pojmenování uzlů je pouze orientační, při interpretaci je nutné uvažovat i výstupní hrany, viz obrázek 4)

## 2 Resubstituce

Resubstituci and uzlů odpovídajících hradlům **AND 6** a **AND 7** provedeme v následujících podkrocích.

### 2.1 Vyhodnocení MFFC

- $\text{MFFC}(\text{AND\_6}) = \{\text{AND\_6}, \text{OR\_4}\}$
- $\text{MFFC}(\text{AND\_7}) = \{\text{OR\_3}\}$

### 2.2 Výpočet rekonvergenčí řízených řezů

- $C(\text{AND\_6}) = \text{ReconvergenceDrivenCut}(\text{AND\_6}, 4) = \{a\_in, b\_in, c\_in, d\_in\}$ :

$i$	$\text{Leaves}_i$	$\text{Visited}_i$	$M_{i+1}$	$ \text{Leaves}_i  + \text{LeafCost}(M_{i+1}, \text{Visited}_i)$
0	$\{\text{AND\_6}\}$	$\{\text{AND\_6}\}$	AND_6	2
1	$\{a\_in, \text{OR\_4}\}$	$\{\text{AND\_6}, a\_in, \text{OR\_4}\}$	OR_4	3
2	$\{a\_in, \text{AND\_1}, \text{AND\_2}\}$	$\{\text{AND\_6}, a\_in, \text{OR\_4}, \text{AND\_1}, \text{AND\_2}\}$	AND_1	4
3	$\{a\_in, \text{AND\_2}, b\_in, c\_in\}$	$\{\text{AND\_6}, a\_in, \text{OR\_4}, \text{AND\_1}, \text{AND\_2}, b\_in, c\_in\}$	AND_2	4
4	$\{a\_in, b\_in, c\_in, d\_in\}$	$\{\text{AND\_6}, a\_in, \text{OR\_4}, \text{AND\_1}, \text{AND\_2}, b\_in, c\_in, d\_in\}$	–	–

Tabulka 1: Průběh výpočtu funkce ReconvergenceDrivenCut pro uzel AND\_6

- $C(\text{AND\_7}) = \text{ReconvergenceDrivenCut}(\text{AND\_7}, 4) = \{a\_in, b\_in, c\_in, d\_in\}$ :

$i$	$\text{Leaves}_i$	$\text{Visited}_i$	$M_{i+1}$	$ \text{Leaves}_i  + \text{LeafCost}(M_{i+1}, \text{Visited}_i)$
0	$\{\text{AND\_7}\}$	$\{\text{AND\_7}\}$	AND_7	2
1	$\{a\_in, \text{AND\_5}\}$	$\{\text{AND\_7}, a\_in, \text{AND\_5}\}$	OR_5	3
2	$\{a\_in, b\_in, \text{OR\_3}\}$	$\{\text{AND\_7}, a\_in, \text{AND\_5}, b\_in, \text{OR\_3}\}$	OR_3	4
3	$\{a\_in, b\_in, c\_in, d\_in\}$	$\{\text{AND\_7}, a\_in, \text{AND\_5}, b\_in, \text{OR\_3}, c\_in, d\_in\}$	–	–

Tabulka 2: Průběh výpočtu funkce ReconvergenceDrivenCut pro uzel AND\_7

## 2.3 Vyhodnocení TFO bez MFFC – vyhodnocení množin $D(n)$

- $D(AND\_6) = \text{CollectNodesTFOChanged}(\{a\_in, b\_in, c\_in, d\_in\}, 3, 10) = \{a\_in, b\_in, c\_in, d\_in \text{ AND\_1, AND\_2, OR\_3, AND\_5, AND\_7}\}$
- $D(AND\_7) = \text{CollectNodesTFOChanged}(\{a\_in, b\_in, c\_in, d\_in\}, 3, 10) = \{a\_in, b\_in, c\_in, d\_in \text{ AND\_1, AND\_2, OR\_3, OR\_4, AND\_5, AND\_6}\}$

## 2.4 Vypočtení logických funkcí uzlů z množin $D(n)$

- Funkce pro  $D(AND\_6)$ :

- $f_{a\_in}(a, b, c, d) = a$
- $f_{b\_in}(a, b, c, d) = b$
- $f_{c\_in}(a, b, c, d) = c$
- $f_{d\_in}(a, b, c, d) = d$
- $f_{AND\_1}(a, b, c, d) = bc$
- $f_{AND\_2}(a, b, c, d) = bd$
- $f_{OR\_3}(a, b, c, d)^3 = c'd'$
- $f_{AND\_5}(a, b, c, d) = b(c'd')' = bc + bd$
- $f_{AND\_7}(a, b, c, d) = a(b(c'd')') = a(b(c + d)) = abc + abd$

- Funkce pro  $D(AND\_7)$ :

- $f_{a\_in}(a, b, c, d) = a$
- $f_{b\_in}(a, b, c, d) = b$
- $f_{c\_in}(a, b, c, d) = c$
- $f_{d\_in}(a, b, c, d) = d$
- $f_{AND\_1}(a, b, c, d) = bc$
- $f_{AND\_2}(a, b, c, d) = bd$
- $f_{OR\_3}(a, b, c, d)^3 = c'd'$
- $f_{OR\_4}(a, b, c, d)^3 = (bc)'(bd)'$
- $f_{AND\_5}(a, b, c, d) = b(c'd')' = b(c + d) = bc + bd$
- $f_{AND\_6}(a, b, c, d) = a((bc)'(bd)')' = a(bc + bd) = abc + abd$

---

<sup>3</sup>Pozor, uzel samotný implementuje funkci NAND, funkce OR lze získat znegováním jeho hodnoty.

## 2.5 Resubstituce uzlu odpovídajícího hradlu AND 6

Z výsledků v předcházející sekci je zřejmé, že uzel AND\_6 odpovídající hradlu **AND 6** lze resubstituovat uzlem AND\_7 odpovídající hradlu **AND 7**. Hodnota false parametru UseZeroCost výsledek resubstituce v tomto případě neovlivní.

Optimalizovaný AIG po resubstituci je zobrazen na obrázku 2.

## 2.6 Resubstituce uzlu odpovídajícího hradlu AND 7

Po provedené resubstituci v předcházející sekci již tento uzel nelze resubstituovat.

## 3 Diskuse k resubstituci

Při aktuálně zvolených hodnotách CutSizeLimit, DivisorLimit<sup>4</sup> a UseZeroCost by resubstituce uzlů v opačném pořadí vedla na resubstituování uzlu odpovídajícího hradlu **AND 7** za uzel odpovídající uzlu **AND 6**.

## 4 Tradiční mapování

Tradiční mapování realizujeme v následujících podkrocích.

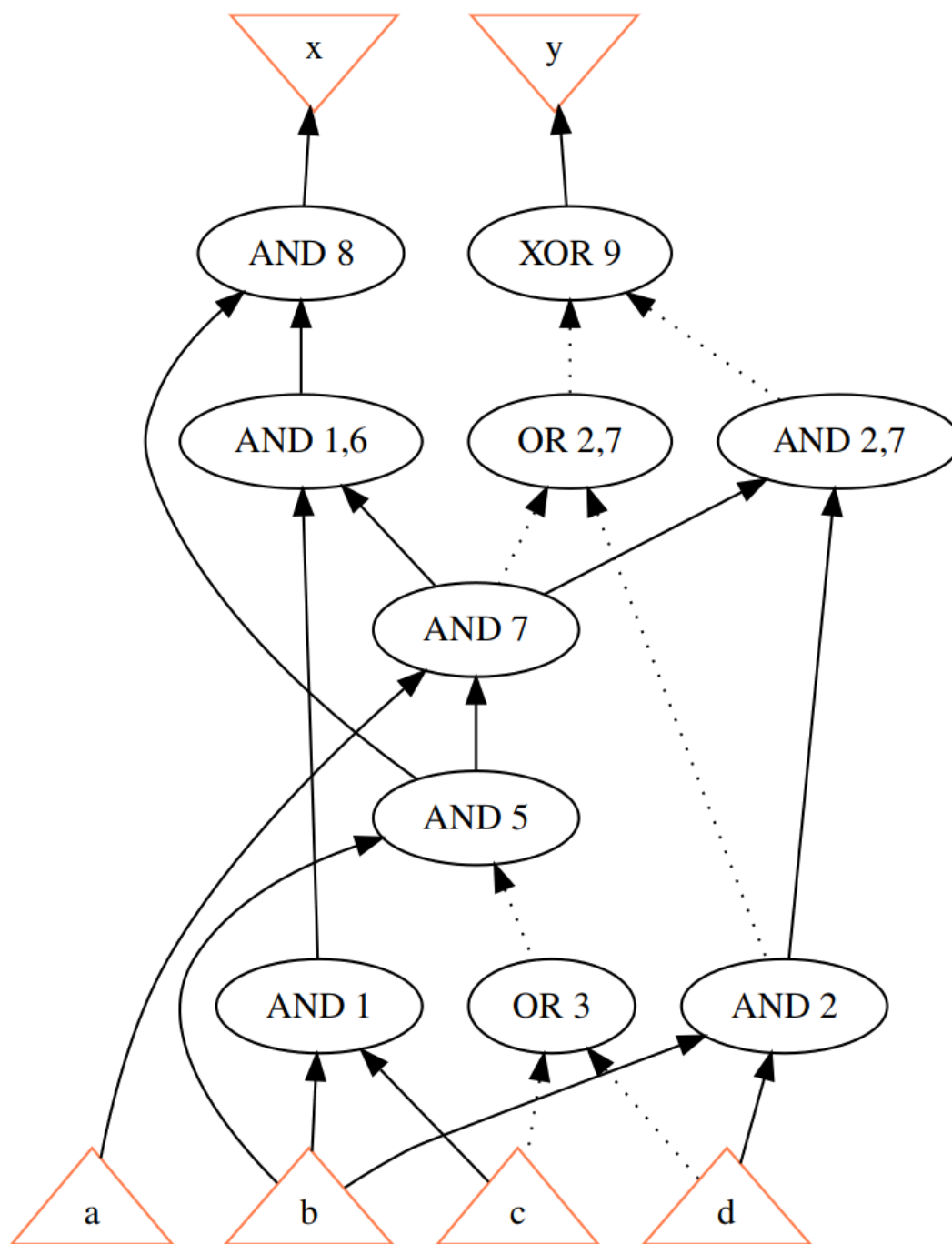
### 4.1 Sestavení množin C(n) optimalizovaného AIG

Pro čtyřvstupové LUT se bude jednat o *K-feasible* řezy bez dominovaných řezů, kde  $K = 4$ . Následuje výčet *4-feasible* řezů, kde dominované řezy jsou přeškrtnuté<sup>5</sup> a reprezentativní řezy jsou označeny tučně:

- $C(a\_in) = \{\{\mathbf{a\_in}\}\}$
- $C(b\_in) = \{\{\mathbf{b\_in}\}\}$
- $C(c\_in) = \{\{\mathbf{c\_in}\}\}$
- $C(d\_in) = \{\{\mathbf{d\_in}\}\}$
- $C(AND\_1) = \{\{AND\_1\}, \{\mathbf{b\_in}, \mathbf{c\_in}\}\}$
- $C(AND\_2) = \{\{AND\_2\}, \{\mathbf{b\_in}, \mathbf{d\_in}\}\}$
- $C(OR\_3) = \{\{OR\_3\}, \{\mathbf{c\_in}, \mathbf{d\_in}\}\}$

<sup>4</sup>Pokud by ale byl zvolen DivisorLimit pouze na 9 a ostatní parametry by zůstaly stejné, již by k resubstituci došlo pouze v prvním případě, protože množina  $D(AND\_7)$  by neobsahovala uzel AND\_6.

<sup>5</sup>Tzn., že do výsledných množin nepatří.



Obrázek 2: Optimalizovaný AIG graf (pojmenování uzlů je pouze orientační, při interpretaci je nutné uvažovat i výstupní hrany, viz obrázek 5)



- $C(AND\_5) = \{\{AND\_5\}, \{b\_in, OR\_3\}, \{b\_in, c\_in, d\_in\}\}$
- $C(AND\_7) = \{\{AND\_7\}, \{a\_in, AND\_5\}, \{a\_in, b\_in, OR\_3\}, \{a\_in, b\_in, c\_in, d\_in\}\}$
- $C(AND\_1\_6) = \{\{AND\_1\_6\}, \{AND\_1, AND\_7\}, \{b\_in, c\_in, AND\_7\}, \{AND\_1, a\_in, AND\_5\}, \{b\_in, c\_in, a\_in, AND\_5\}, \{AND\_1, a\_in, b\_in, OR\_3\}, \{c\_in, a\_in, b\_in, OR\_3\}, \{a\_in, b\_in, c\_in, d\_in\}\}$
- $C(AND\_2\_7) = \{\{AND\_2\_7\}, \{AND\_2, AND\_7\}, \{b\_in, d\_in, AND\_7\}, \{AND\_2, a\_in, AND\_5\}, \{b\_in, d\_in, a\_in, AND\_5\}, \{AND\_2, a\_in, b\_in, OR\_3\}, \{d\_in, a\_in, b\_in, OR\_3\}, \{a\_in, b\_in, c\_in, d\_in\}\}$
- $C(OR\_2\_7) = \{\{OR\_2\_7\}, \{AND\_2, AND\_7\}, \{b\_in, d\_in, AND\_7\}, \{AND\_2, a\_in, AND\_5\}, \{b\_in, d\_in, a\_in, AND\_5\}, \{AND\_2, a\_in, b\_in, OR\_3\}, \{d\_in, a\_in, b\_in, OR\_3\}, \{a\_in, b\_in, c\_in, d\_in\}\}$
- $C(AND\_8) = \{\{AND\_8\}, \{AND\_5, AND\_1\_6\}, \{b\_in, OR\_3, AND\_1\_6\}, \{b\_in, c\_in, d\_in, AND\_1\_6\}, \{AND\_5, AND\_1, AND\_7\}, \{b\_in, OR\_3, AND\_1, AND\_7\}, \{AND\_5, b\_in, c\_in, AND\_7\}, \{OR\_3, b\_in, c\_in, AND\_7\}, \{d\_in, b\_in, c\_in, AND\_7\}, \{AND\_1, a\_in, AND\_5\}, \{b\_in, c\_in, a\_in, AND\_5\}, \{AND\_1, a\_in, b\_in, OR\_3\}, \{c\_in, a\_in, b\_in, OR\_3\}, \{a\_in, b\_in, c\_in, d\_in\}\}$
- $C(AND\_8) = \{\{AND\_8\}, \{OR\_2\_7, AND\_2\_7\}, \{\cancel{AND\_2, AND\_7, AND\_2\_7}, \{AND\_2, AND\_7\}, \{\cancel{b\_in, d\_in, AND\_7, AND\_2\_7}, \{\cancel{AND\_2, a\_in, AND\_5, AND\_2\_7}, \{AND\_2, a\_in, AND\_5\}, \{\cancel{OR\_2\_7, AND\_2, AND\_7\}, \{\cancel{b\_in, d\_in, AND\_2, AND\_7\}, \{\cancel{a\_in, AND\_5, AND\_2, AND\_7\}, \{\cancel{OR\_2\_7, b\_in, d\_in, AND\_7\}, \{b\_in, d\_in, AND\_7\}, \{\cancel{OR\_2\_7, AND\_2, a\_in, AND\_5\}, \{\cancel{AND\_7, AND\_2, a\_in, AND\_5\}, \{b\_in, d\_in, a\_in, AND\_5\}, \{AND\_2, a\_in, b\_in, OR\_3\}, \{d\_in, a\_in, b\_in, OR\_3\}, \{a\_in, b\_in, c\_in, d\_in\}\}$

## 4.2 Vyhodnocení funkce fastMapDeriveFinalNetwork

$i$	$M_i$	$F_i$
0	$\{\}$	$\{AND\_8, XOR\_9\}$
1	$\{AND\_8\}$	$\{XOR\_9, a\_in, b\_in, c\_in, d\_in\}$
2	$\{AND\_8, XOR\_9\}$	$\{a\_in, b\_in, c\_in, d\_in\}$
3	$\{AND\_8, XOR\_9, a\_in\}$	$\{b\_in, c\_in, d\_in\}$
4	$\{AND\_8, XOR\_9, a\_in, b\_in\}$	$\{c\_in, d\_in\}$
5	$\{AND\_8, XOR\_9, a\_in, b\_in, c\_in\}$	$\{d\_in\}$
6	$\{AND\_8, XOR\_9, a\_in, b\_in, c\_in, d\_in\}$	$\{\}$

Tabulka 3: Průběh výpočtu funkce fastMapDeriveFinalNetwork

Množina uzlů použitá pro mapování tedy je  $\{AND\_8, XOR\_9, a\_in, b\_in, c\_in, d\_in\}$ .

## 5 Arrival Time a Required Time

*Arrival Time* vstupních uzlů, tj. uzlů  $a_{in}$ ,  $b_{in}$ ,  $c_{in}$  a  $d_{in}$ , bude roven 0. Reprezentativní řez ostatních uzlů v optimalizovaném AIG pak obsahují pouze vstupní uzly, tzn., že *Arrival Time* ostatních uzlů bude roven 1.

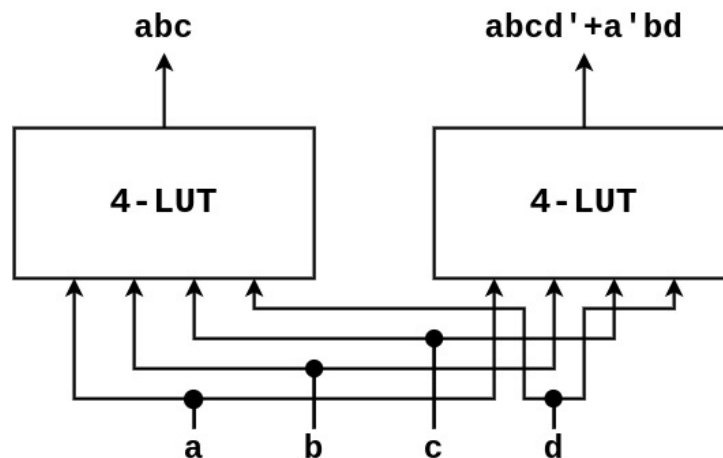
Z toho plyne, že *Required Time* výstupních uzlů, tj. uzlů AND\_8 a XOR\_9, je roven 1. Reprezentativní řez obou výstupních uzlů obsahuje pouze vstupní uzly, tzn., že *Required Time* všech výstupních uzlů bude 0. Ostatní uzly, tj. AND\_1, OR\_3, AND\_2, AND\_5, AND\_7, AND\_1\_6, AND\_2\_7 a OR\_2\_7, nejsou obsaženy v žádném reprezentativním řezu, takže jejich *Required Time* zůstane nekonečný.

## 6 Realizace obvodu čtyřvstupovými LUT

Nejdříve spočteme logické funkce uzlů, které ještě nejsou vypočteny v sekci 2.4:

- $f_{AND\_1\_6}(a, b, c, d) = (abc + abd)bc = abc + abcd = abc(d + 1) = abc$
- $f_{OR\_2\_7}(a, b, c, d) = (abc + abd)'(bd)'$
- $f_{AND\_2\_7}(a, b, c, d) = (abc + abd)(bd) = abcd + abd = abd(c + 1) = abd$
- $f_{AND\_8}(a, b, c, d) = abc(bc + bd) = abc + abcd = abc(d + 1) = \mathbf{abc}$
- $f_{XOR\_9}(a, b, c, d) = ((abc + abd)'(bd)')'(abd)' = (abc + abd + bd)(a' + b' + d') = (abc + bd)(a' + b' + d') = abca' + abcb' + abcd' + bda' + bdb' + bdd' = 0bc + 0ac + abcd' + a'bd + 0d + 0b = \mathbf{abcd' + a'bd}$

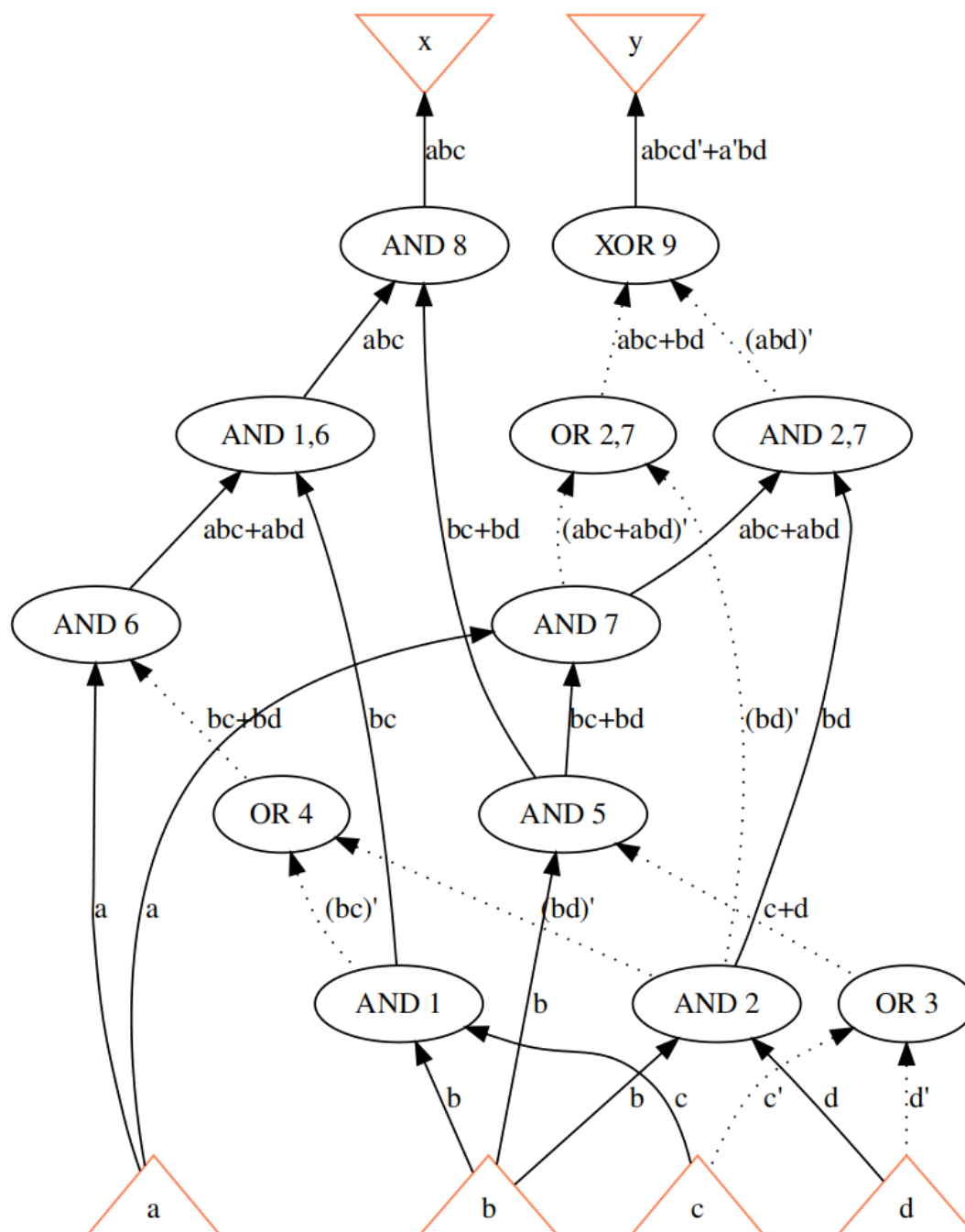
A následně na obrázku 3 sestavíme čtyřvstupové LUT na základě výsledků tradičního mapování. Pro úplnost pak ještě uvedeme na obrázcích 4 a 5 AIG a optimalizovaný AIG grafy doplněné o logické funkce.



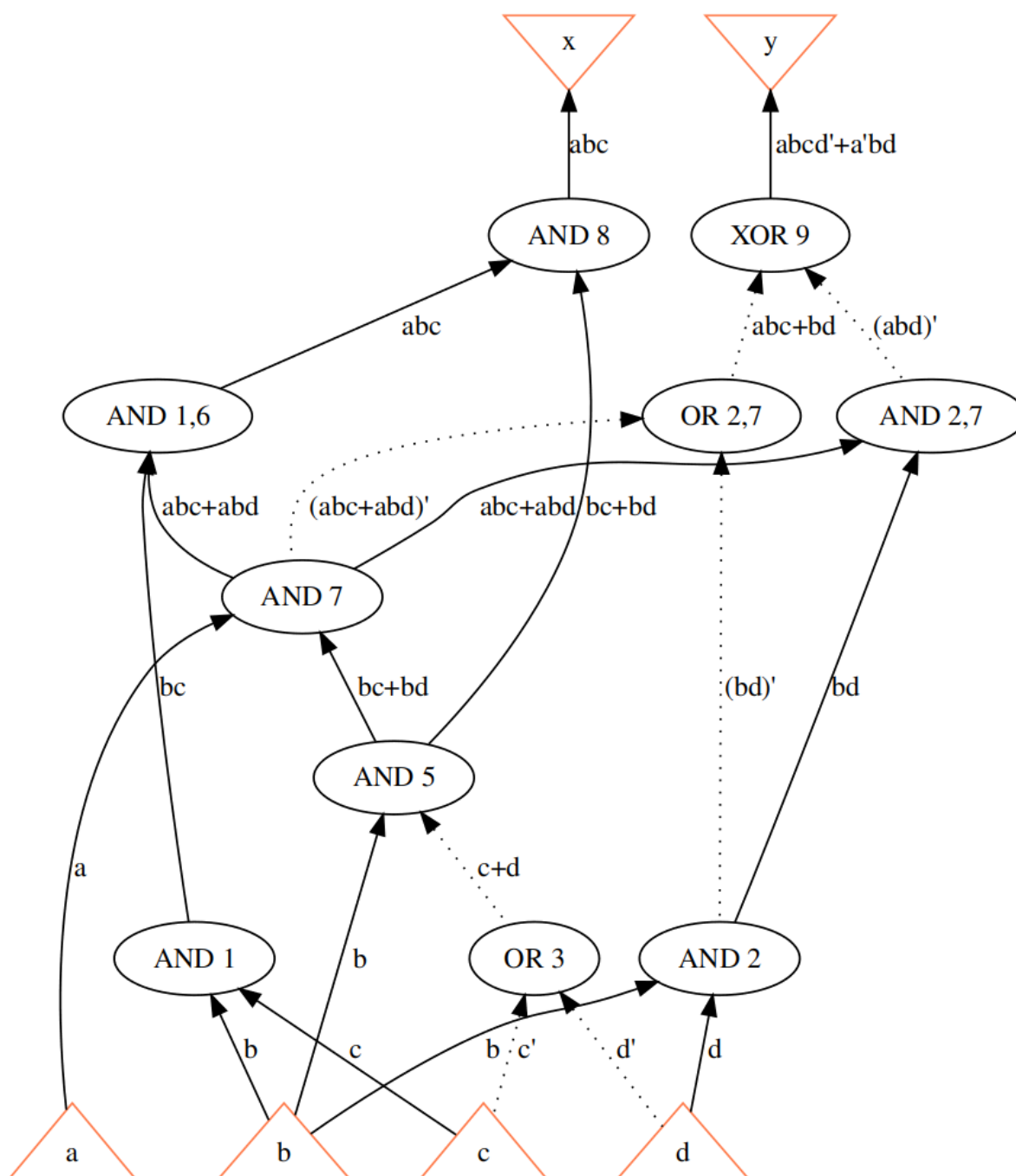
Obrázek 3: Čtyřvstupové LUT realizující zadaný obvod

## 7 AIG grafy vygenerované nástrojem ABC

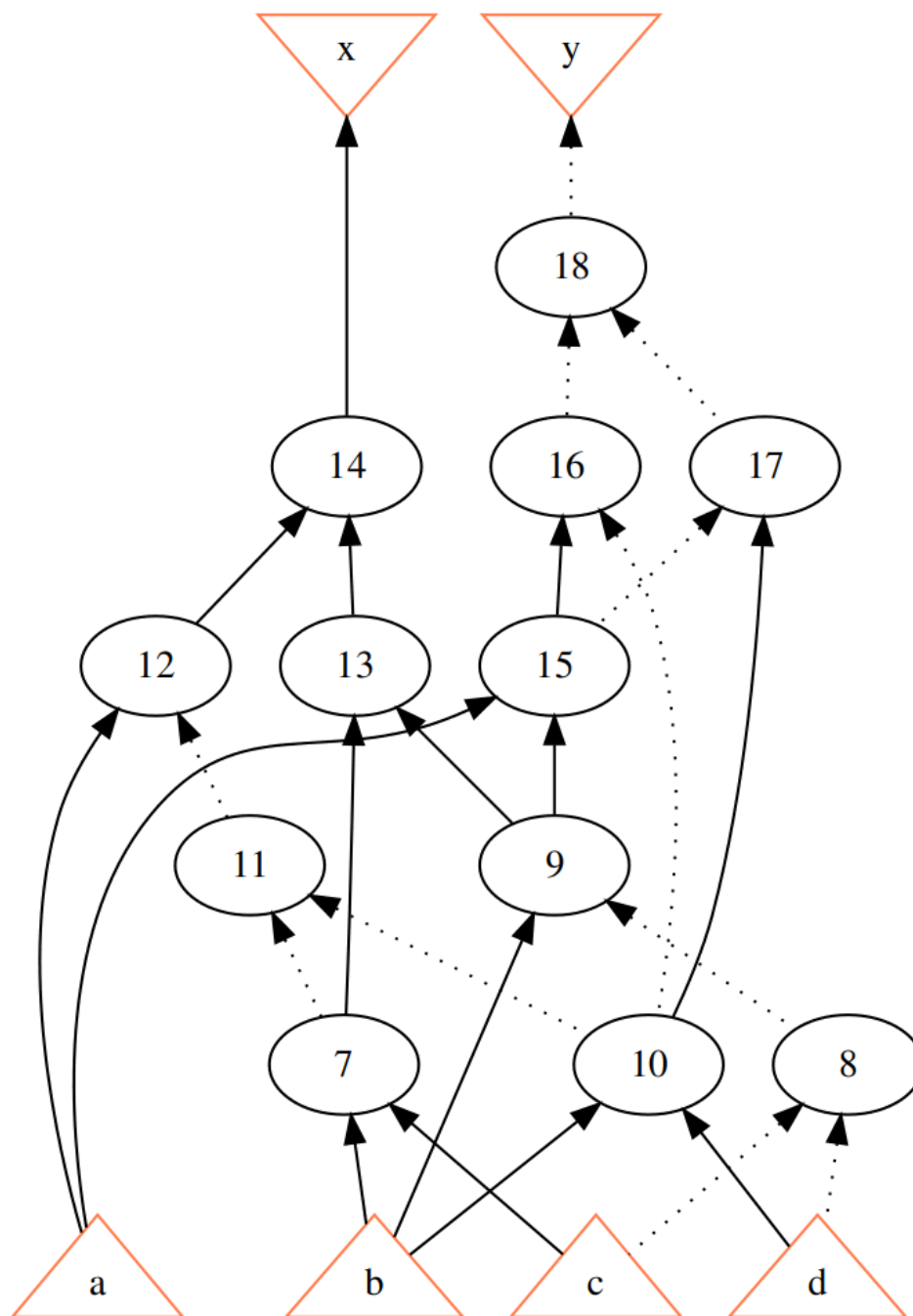
Na obrázku 6 je zobrazen neoptimalizovaný AIG graf a na obrázku 7 je zobrazen plně optimalizovaný AIG graf, oba vygenerované pomocí nástroje ABC. Zajímavé je pozorovat, že se AIG grafy z obrázků 1 a 6, ačkoliv jsou funkčně ekvivalentní, liší ve způsobu implementace hradel **AND 8** a **XOR 9**. Dále lze srovnáním AIG grafů z obrázků 2 a 7 vyvodit, že resubstitucí pouze uzlů reprezentující hradla **AND 6** a **AND 7** ještě nezískáme optimální AIG graf.



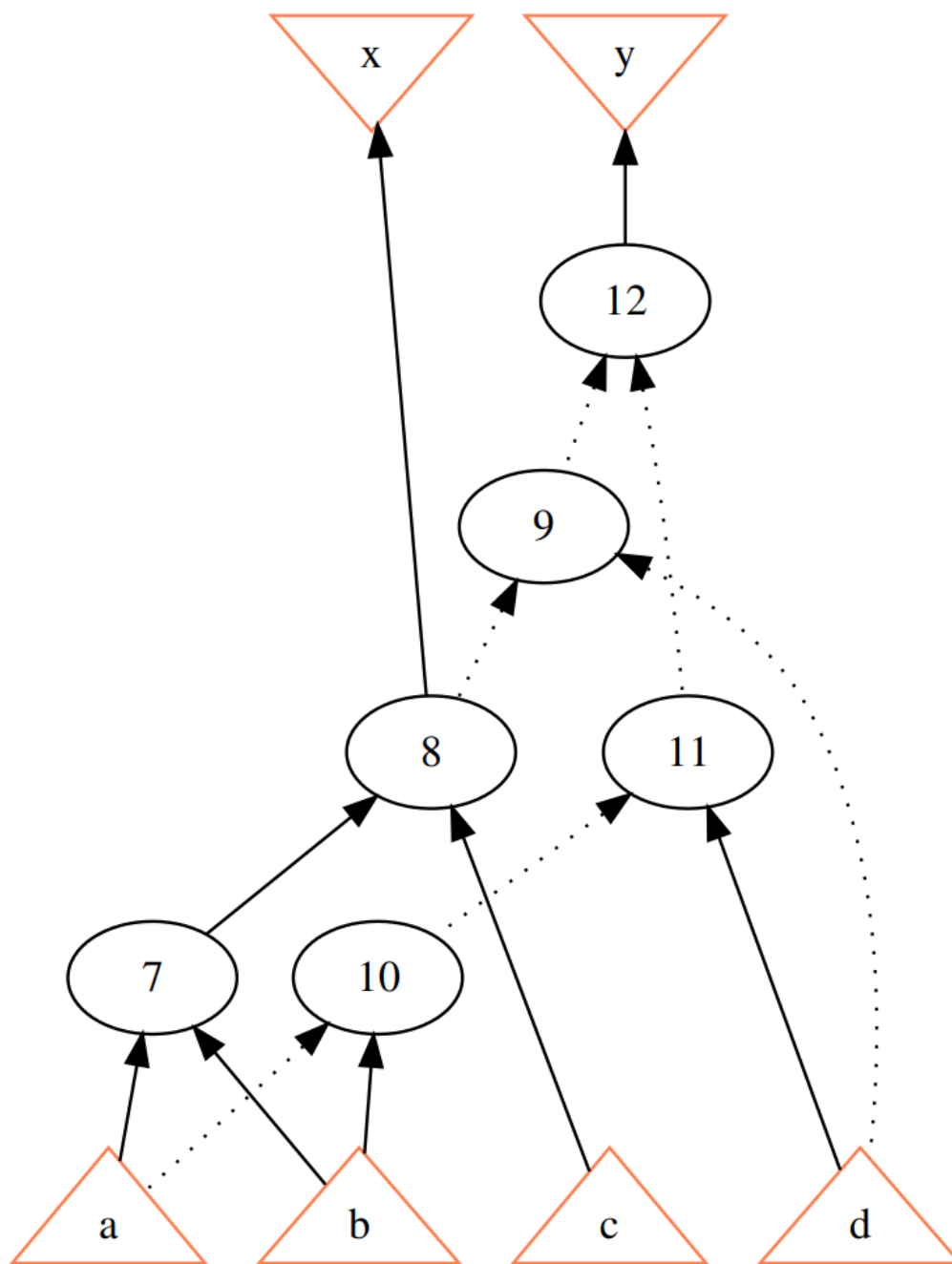
Obrázek 4: AIG graf s popisem hran vyjadřující jejich logickou funkci



Obrázek 5: Optimalizovaný AIG graf s popisem hran vyjadřující jejich logickou funkci



Obrázek 6: AIG graf vygenerovaný nástrojem ABC



Obrázek 7: AIG graf optimalizovaný a vygenerovaný nástrojem ABC